

숏크리트 품질에 미치는 재료 및 시공 조건의 영향

Effect of Materials and
Construction Conditions on Sotcrete Quality

현석훈* · 한기석

(쌍용양회공업(주) 중앙연구소 신제품개발실)

1. 서 론

숏크리트는 地盤의 補強 및 支保用으로써 NATM 공법에 필수 불가결한 재료이다. 최근에는 암반굴착의 요철면에 의한 응력집중이 발생하는 것을 방지하고 터널 굴진속도를 빠르게 하기 위해 고가의 TBM(Tunnel Boring Machine)장비에 의한 터널 시공이 국내에 도입되고 있다. 그러나 TBM에 의한 암반 굴진이라 하여도 암반의 전리된 부분이나 연암 지역이 나타나면 숏크리트에 의한 지반보강을 해야하는 곳이 발생하게 되는데, 지반보강을 하기 위해 숏크리트 시공과 병행 작업을 하는 경우에는 TBM에 의한 굴진작업이 지장을 받는 경우가 종종 발생한다. 따라서 숏크리트작업의 효율성을 향상시키는 것이 TBM 터널시공의 중요한 관리 항목이 된다.

숏크리트의 최적의 효율화는 NATM이나 TBM 모두 절실한 문제점으로 지적되고 있으며, 효율적인 숏크리트 시공을 위해서는 숏크리트 재료조건, 배합 및 시공여건, 노즐맨의

능력 등이 조화를 이루워야 한다.

본 연구에서는 숏크리트의 재료조건과 배합 및 시공여건을 중심으로 실험실적으로 최적조건을 검토하였고 그 결과에 의해 쌍용의 동해 석회석 광산 TBM 터널공사에 적용실험을 실시하였으며, 현장적용 실험시에 노즐맨을 동일한 사람으로 실시하여 노즐맨의 영향을 검토 대상에서 제외하였다. 특히 숏크리트 재료조건에서는 새로운 급결제 합성 및 급결 메카니즘 규명과 시멘트와 급결제 Type에 의한 영향을 중점적으로 취급하였으며, 아울러 시멘트 장기 보관 유통상에서 발생되는 시멘트 풍화에 의한 영향을 검토하였다. 숏크리트 배합측면에서는 W/C 변화, 숏크리트 시공에서는 저온 시공측면에서의 영향을 검토하였다.

2. 실험방법

2. 1 숏크리트용 급결제 제조

급결성 광물로 알려진 Calcium Aluminate

광물⁽³⁾ ($12\text{CaO} \cdot 7\text{Al}_2\text{O}_3$)과 Sodium Calcium Aluminate 광물^(4, 5, 6) [$\text{Na}_4\text{Ca}_3(\text{AlO}_2)_{10}$] 합성에 사용한 원료원으로써 CaO원은 석회석, $\text{Ca}(\text{OH})_2$ 를 사용하였고, Na_2O 원은 Na_2CO_3 를 사용하였으며, Al_2O_3 원으로는 부산물 Al_2O_3 와 $\text{Al}(\text{OH})_3$, NaAlO_2 의 1급 시약을 사용하였다. 이소성(易燒成) 성 원료는 CaSO_4 를 이용하였으며, 사용 원료의 화학조성은 Table 1과 같다.

Table 1 사용 원료의 화학 조성

화학 조성 (wt %)					
원료 원	SiO_2	Al_2O_3	Fe_2O_3	CaO	Ig. loss
석회석원료	3.3	0.3	0.1	54.6	41.6
Al_2O_3 원료	2.5	90.0	tr	0.1	7.4

적정한 원료의 조합비를 변화시키고, 소성온도는 $1300\sim 1450^\circ\text{C}$ 범위에서 변화 시켰으며, 소성시간은 15~60분 범위에서 변화 시켜가면서 전기로에서 소성하여 공기 중 냉각하였다.

숏크리트용 급결제 제조는 급결의 상승효과와 장기강도 향상, 수축저감 및 저온에서 급결성 발현을 목표로 하여 여러 급결성 원료원을 조합하여 제조하였으며 본 연구의 숏크리트용 급결제로 사용하였다.

2. 2 급결제 메카니즘 실험

숏크리트용 급결제가 첨가된 시멘트의 수화물 조직을 관찰하기 위하여 시멘트 중량비로 급결제를 10% 첨가하고 W/C비 60% 조건으로 물을 혼합한 다음 1, 5, 10, 15, 30분 수화정지 후 XRD, SEM관찰을 하였다. 비교 관찰을 위해 급결제를 첨가하지 않은 시멘트의 10분, 30분, 1시간, 3시간 수화정지후 SEM관찰을 하였다.

2. 3 숏크리트 재료 및 배합, 시공조건 변화 실험

숏크리트 재료 및 배합, 시공조건 변화 실험에 사용한 몰탈 응결 측정방법은 일본 토목학회 기준(숏크리트용 급결제 품질 규격 (안)):

JCSE-1986)의 실험방법에 따라 실험했으며 그 실험방법은 W/C(%) : 50%, Cement : Sand=1:3이다.

몰탈 응결 실험은 ASTM C403(관입 저항법에 의한 콘크리트의 응결시간 측정방법)의 해 실험을 했으며, Proctor 관입저항 시험기를 사용했다.

몰탈 혼합 및 제작방법은 JSCE-1986 방법에 의해, 시멘트와 잔골재를 15초간 건식혼합 후 급결제를 투입후 10초간 혼합한 후에 혼합수를 첨가하면서 15초간 혼합한다. 몰드제작은 몰드에 넣고 신속하게 15~20초간 몰탈압축강도 다짐봉으로 다지고 윗면을 고른 다음 Proctor 응결실험을 하였다.

급결제 첨가량은 시멘트 중량에 5, 8 wt%로 하였다.

사용시멘트는 S사 Type I 보통시멘트, Type III 조강시멘트, Slag 시멘트를 사용하였다.

시멘트 풍화도에 의한 실험은, 임의로 시멘트를 공기중에 노출시켜 Ig. loss 4.0% 되게 풍화시킨 것과 비닐로 밀봉 차단하여 보관한 신선한 동일 시멘트(i.g. loss 1.5%)와 비교 실험을 하였다.

급결제는 5종류를 실험했으며, W/C는 배합수량만 추가하는 것으로 하여 50%, 55%로 하였다.

배합수의 온도는 20°C , 0°C 로 하였다.

2. 4 TBM 현장 숏크리트 재료 적용 실험

TBM 장비에 의해 터널 쿨진 중인 S사 석회석 광석 터널 ($\phi 4.5\text{m} \times 11.8\text{km}$) 숏크리트 공사에 시멘트 Type과 급결제 종류에 의한 현장 적용 실험을 실시하였다.

사용한 숏크리트 배합 조건은 현장 작업성과 문현^(1, 2)을 참고로 하여 최적 배합으로 판단되는 Table 2 같은 조건으로 정하였다.

배합에 사용한 건식 믹서는 Screw 식 6 M^3 믹서를 사용 했으며 숏크리트 장비는 알리바

건식 장비를 사용하였다.

Table 2 솗크리트 배합

W/C (%)	S/A (%)	Cement (kg/m ³)	조골재 크기 (mm)	급결제 첨가량 (CXwt%)	골재 지증 잔골 재 재
50	60	400	13	5	2.60 2.68

리바운드 측정 방법은 91cm × 182cm 합판의 182cm 면을 터널 및 부분에 놓고 합판 위에 떨어진 콘크리트량의 무게를 측정하였다.

속크리팅은 터널 측벽 부분 높이 3m, 속크리트 두께 10cm (Wire Mesh에서 터널안쪽) 되도록 뺏어 부쳤다. 속크리트 두께 10cm의 판정 기준은, 강재 Arch 보강재 두께 및 보강재에 길이 10cm의 철근을 용접하여 철근 끝 부분 까지 속크리팅을 하는 것으로 두께를 판정하였다. Wire Mesh 설치 밑 부분(터널 굴착 요철면과 Wire Mesh 설치 사이)의 속크리트 타설량은 비교 대상 조건들이 동일 하다고 간주하여 1cm 두께 만큼 속크리팅이 되었다고 간주하였고, 면적으로 속크리팅량을 계산하였다.

속크리트 강도는 7일, 28일 후에 Core를 각각의 재령에서 3개씩 채취하여 강도를 측정하였으며 공시체 크기는 직경 10cm, 높이 10cm 되도록 Cutting 하였고, 공시체 크기에 의한 보정을 강도를 산출하였다.

3. 실험결과

3. 1 속크리트용 급결제 제조

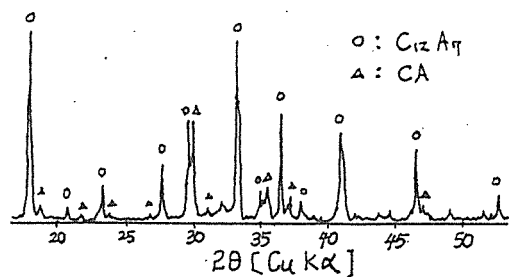
시중에서 일반적으로 사용되는 급결제는 무기염계를 적정한 비율로 혼합하여 사용하고 있으며, $12\text{CaO} \cdot 7\text{Al}_2\text{O}_3$ 의 자체 수경성을 갖고 있는 Calcium Aluminate계를⁽³⁾ 사용하기도 하며, Sodium Aluminate

Calcium 광물도 특허^(5, 6)상에서 나타나고 있다.

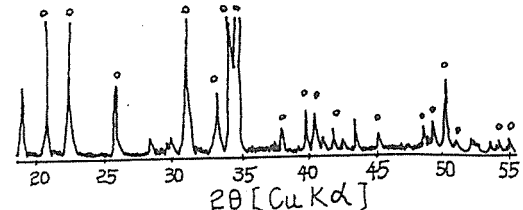
Fig. 1은 제조된 클링커의 XRD Peak이며,

여기서 급결성이 뛰어난 $12\text{CaO} \cdot 7\text{Al}_2\text{O}_3$ 광물과 Sodium Calcium Aluminate⁽⁴⁾ Peak를 확인 할 수가 있었다.

속크리트용 급결제 제조는 급결성의 상승효과와 장기강도 향상, 수축저감, W/C 변화에 의한 급결성 변동 최소화 및 저온에서 급결성 저하폭 감소를 목적으로 여러 급결원료를 조합하여 급결제의 최적 조건을 설정하였다.



(A) $12\text{CaO} \cdot 7\text{Al}_2\text{O}_3$ 광물 Peak



(B) Sodium Calcium Aluminate 광물 Peak

Fig. 1 XRD Patterns of Clinker

3. 2 급결 메카니즘

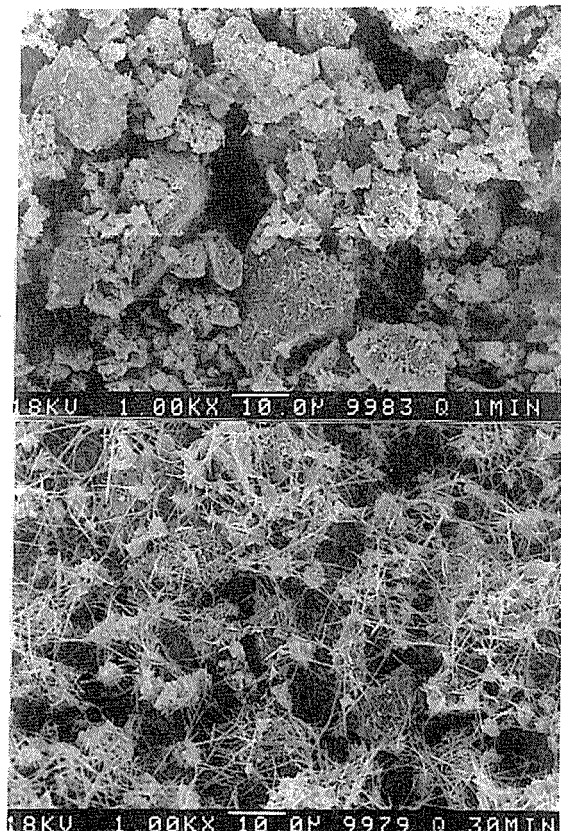
현재 사용되는 급격제로써는 물유리계, 무기염계, 시멘트 광물계로 구분 할 수 있다. 물유리 ($\text{Na}_2\text{O}-\text{SiO}_2-\text{H}_2\text{O}$)계는 물유리의 SiO_2 와 시멘트의 CaO 와 반응하여 비정질 C-S-H 가 급속히 생성하여 즉시 Gel화 되어 응고하며, 경화후의 수축이 너무 커서 속크리트용 급결제로 이용하는데 보완이 필요하다. 대표적인 무기염계 급결제로써 탄산소다(Na_2CO_3)와 알루민산소다(NaAlO_2)는 다음과 같은 화학 반

응식에 의해 급결을 일으킨다고 알려져 있다^(7, 8).

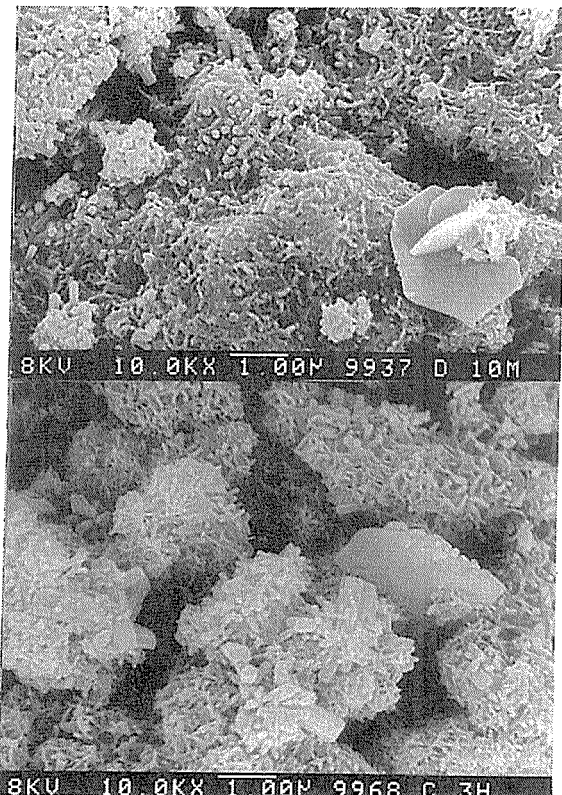
Na_2CO_3 는 다음과 같은 화학 반응식 처럼 ($\text{Na}_2\text{CO}_3 + \text{Ca}(\text{OH})_2 \rightarrow 2\text{NaOH} + \text{CaCO}_3$) $\text{Ca}(\text{OH})_2$ 를 난용성 CaCO_3 로 전이 시키고, 이 반응에서 생성되는 NaOH 가 시멘트의 수화를 촉진하여 급결을 일으킨다.

또 하나의 무기염계 급결제인 NaAlO_2 는 물과 접촉하면 빠르게 $\text{Al}(\text{OH})_3$, NaOH 로 가수분해 하며 $\text{Al}(\text{OH})_3$ 는 $\text{Ca}(\text{OH})_2$ 와 다음과 같이 화학 반응하여 $\text{Al}(\text{OH})_3 + \text{Ca}(\text{OH})_2 \rightarrow 3\text{CaO} \cdot \text{Al}_2\text{O}_3 \cdot 6\text{H}_2\text{O}$ 를 생성하여 시멘트를 급결 시킨다.

위의 화학 급결 메카니즘에서 알 수 있듯이 무기염계 급결제는 자체 수경성을 갖고 있지 못하기 때문에 시멘트 반응성에 의존 할 수 밖에 없다.



(A) 급결제 첨가 1분, 30분 수화정지
(W/C : 60%, 급결제첨가량 : C × 10wt%)



(B) 급결제 무첨가 10분, 3시간 수화정지
(W/C : 60%, 시멘트 단독)

Fig. 2 SEM Micrographs of Hydrates of Cement

이와 같은 문제점을 최소화하기 위해 자체 수경성을 갖고 있는 시멘트 광물계를 솟크리트 용 급결제로 사용하고 있다⁽³⁾. 시멘트계 급결제로써 대표적으로 $12\text{CaO} \cdot 7\text{Al}_2\text{O}_3$, Sodium Calcium Aluminate 광물계가 있다.

Fig. 2의 SEM 사진에서 보여 주듯이 급결제를 첨가한 시멘트의 수화물 조직은 시멘트 단독의 수화물 조직과는 다른 형태를 보여주고 있다. 즉 급결제와 시멘트와의 수화반응으로 생성된 CAH계 수화물 및 CSH계 gel조직과, Ettringite 수화물 또는 유사(類似) Ettringite 수화물로 여겨지는 가느다란 섬유상의 수화물이 서로 얹켜서 급결 및 강도 발현을 일으킨다고 볼수있다.

한편, Fig. 3에 나타난것 처럼 급결제를 시멘트에 10wt% 첨가하여 W/C : 60% 조건에

서 시간경과에 따른 시멘트 페이스트 수화정지 XRD Peak에서는 15분 경과까지 어떠한 형태의 수화물 결정 Peak 생성도 관찰 할 수가 없었으나 SEM 상에서는 관찰된 섬유상의 수화물은, 시멘트 굽결시 나타날 수 있는 유사(類似) Ettringite⁽¹²⁾ (분자식 : $C_3A \cdot 3CaCO_3 \cdot 31H_2O$, $d_{\text{값}} : 9.5$, $2\theta : 9.3^\circ$)나 Ettringite (분자식 : $C_3A \cdot 3CaSO_4 \cdot 32H_2O \cdot 31HO$, $d_{\text{값}} : 9.73$, $2\theta : 9.08^\circ$)의 결정으로 여겨진다.

이와같은 섬유상의 수화물이 장기적으로 물성에 어떠한 영향을 미치는 가는 검토되어야 할 사항이다.

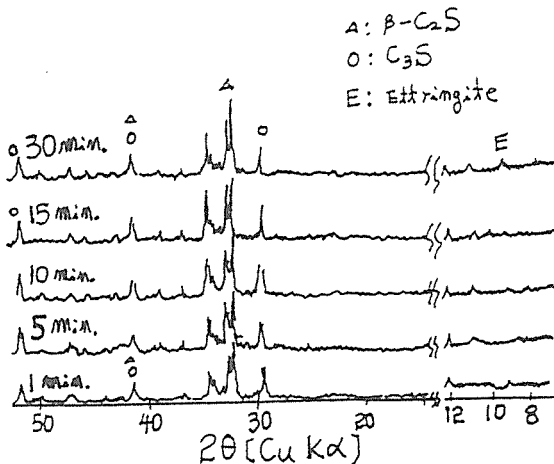


Fig. 3 XRD Patterns of Hydrates of Cement
(W/C : 60%, 굽결제첨가량 : CX10wt%)

3. 3 솝크리트 재료 및 배합, 시공 조건에 의한 실험실적 결과

3. 3. 1 시멘트 Type에 의한 굽결성

Fig. 4의 시멘트 Type에 의한 물탈 Proctor 응결 결과에서 보면 Type III 조강시멘트의 굽결성이 뛰어나며, 슬래그 시멘트의 굽결성은 훤저히 늦어지고 있음을 보여 주고 있다. 초기 반응성이 늦은 슬래그 시멘트의 경우 굽결제의 첨가량은 많게 하여도 굽결성이 빨라지지 않으며 특히 자립강도⁽¹³⁾(1000PSI) 도달시간이 늦어지기

때문에 솝크리팅에 의한 터널면 부착후에 콘크리트 자중에 의한 탈락이 발생될 여지가 있다.

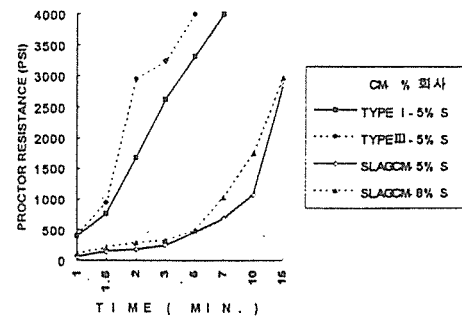


Fig. 4 시멘트 Type에 의한 굽결성

3. 3. 2 풍화 시멘트에 의한 굽결성

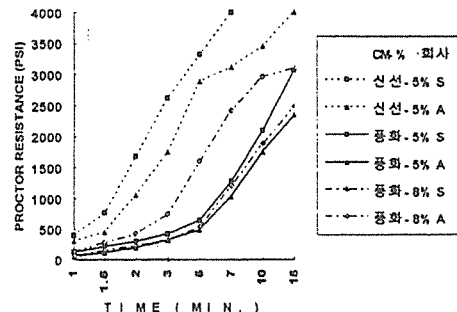


Fig. 5 시멘트 풍화에 따른 굽결성

Fig. 5는 물탈에서 풍화 시멘트의 굽결성 저하 실험인데, 풍화 시멘트에서는 신선한 시멘트에 비해 굽결성이 크게 떨어지는 것을 보여 주며 굽결제량을 增量하여도 굽결성이 빨라지지 않는 것으로 보아 솝크리트에서 신선한 시멘트 사용이 가장 중요한 인자가 된다. 이러한 이유는 앞의 굽결 메카니즘에서 지적 했듯이 시멘트 성분 중에 굽결제와 반응하여 가장 굽결을 빨리 일으킬 수 있는 C_3A , C_3S 등이 우

선적으로 풍화되어 초기 반응성이 떨어지기 때문이다.

3. 3. 3 급결제 종류 W/C 변화

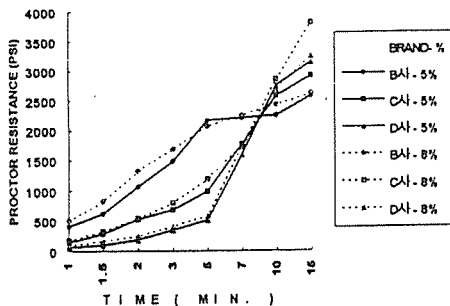


Fig. 6 급결제 종류에 의한 물탈 Proctor 관입 실험 (W/C : 55%)

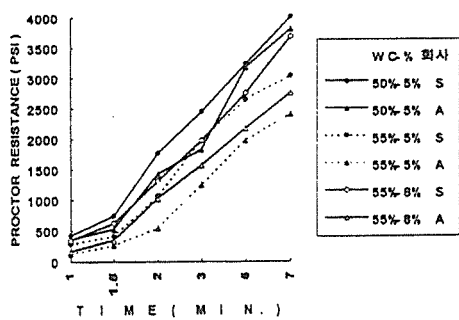


Fig. 7 W/C 변화와 급결제 종류 및 첨가량에 의한 물탈 Proctor 관입 실험

Fig. 6의 결과에서 알 수 있듯이 급결제 제조회사에 따라 급결성의 차이가 매우 크며 특히 W/C가 높아졌을 때 급결성이 크게 떨어지기 때문에 사용시 품질확인이 필요하다.

Fig. 7은 W/C 변화에 따른 물탈 응결을 측정한 것으로 W/C가 50%에서 55%로 커졌을 때, 응결은 현저히 떨어지고 있으며 급결제를 8wt%로 증량하여도 급결성이 좋아지지 않기 때문에, 솔크리트에서 단위수량 관리가 중요하

며 W/C가 커졌을 때 급결성 저하가 적은 급결제 선택이 요구된다.

3. 3. 4 저온에서의 급결성

Fig. 8은 W/C : 50%의 물탈에서 20°C 물과 0°C 물을 혼합수에 사용했을 때 급결성이 현저히 떨어져서 5분 경과후에도 자립강도 (1000PSI)에 도달되지 않아서 솔크리트 자중에 의한 탈락율이 많아질 수 있으며, 급결제를 증량하여도 급결효과는 미미한 급결제가 많다.⁽¹¹⁾ 이것은 앞서 언급했듯이 솔크리트의 급결성은 시멘트 반응성에 의존하기 때문에 저온에서의 솔크리트 시공은 반응성이 높은 시멘트에 의한 방법이 바람직하다.

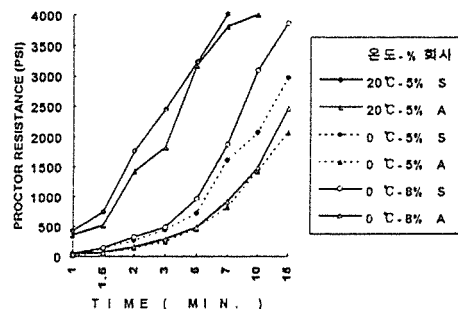


Fig. 8 저온에서 급결성 저하와 급결제 종류 및 첨가량과의 관계

3. 4 TBM 현장 솔크리트 재료 적용 실험 결과

3. 4. 1 시멘트 Type에 의한 현장 솔크리트 적용

Table 3은 Type I 보통시멘트와 Type III 조강시멘트의 리바운드량 및 core 강도 비교 실험결과로써 Type III 조강시멘트의 경우는 Fig. 4의 결과처럼 시멘트 반응성에 의해서 응결이 빨라져서 리바운드량을 감소시킬 수가 있

으며, 또한 시멘트 분말도가 높아서 솗크리트의 부착력에 치밀도가 있기 때문에 리바운드량이 감소되고 Core 강도가 높게 나타난 것으로 생각된다.

속크리트의 시공에서 리바운드와 급결성의 상관관계는 급결체의 첨가를 많게해서 인위적으로 응결을 빠르게 한다고 리바운드량이 줄어드는 것이 아니라 오히려 적정 첨가량 이상에서는 리바운드량이 늘어나고⁽²⁾ 분진발생이 많아지기 때문에, 외국의 속크리트 시공^(8, 9) 사례에서는 반응성이 높은 시멘트를 사용하여 리바운드량을 줄이고 속크리트 강도를 향상시키는 방향으로 연구가 진행되고 있다.

한편, 실리카흄을 시멘트에 미리 첨가하거나 속크리트 혼합시에 넣는 방법으로 실리카 흄의 미립자 효과에 넣는 방법으로 실리카 흄의 미립자 효과에 의한 속크리트의 부착력을 높혀서 리바운드량을 감소 시키는 연구^(1, 10)가 활발하게 진행되고 있다. 그러나 외국에서는 부산물인 실리카흄이 아주 낮은 가격이기 때문에 가능한 방법이지만, 한국에서는 실리카흄이 시멘트의 7배 이상 가격으로써 수입단가가 비싸며 미세한 분말로써 보관 및 혼합관리가 용이하지 않기 때문에 상업적인 측면에서는 현재까지는 시멘트의 분말도를 높혀서 부착력과 반응성을 향상시키는 방법이 효율적인 속크리트 시공방법이라고 판단된다.

Table 3 시멘트 Type과 급결제 종류에 의한 리바운드량 및 Core 강도 결과

시멘트 타입	급결제 종류	리바운드량(wt %)	Core 압축 강도 (kg/cm ²)	
			7일	28일
TYPE I	A사	25	180	202
	S사	23	174	224
TYPE III	S사	17	205	257

3. 4. 2 시멘트 TYPE에 의한 속크리트 시공의 경제성 검토

Table 4는 Table 2의 본 실험에 사용한 속크리트 배합에 의해 TYPE I 시멘트와 TYPE III 시멘트를 사용했을 때, 속크리트 1 M³의 재료비를 산출한 것으로 TYPE III 시멘트 가격을 TYPE I에 1.3배, 1.5배로 하여 재료비를 산출하였다.

Tbale 4 속크리트 1 M³의 재료 비용

구분	단가	TYPE I 사용	TYPE III 사용		비교
			1.3배	1.5배	
시멘트	50원/kg	20,000	26,000	30,000	TYPE III의 가격은
모래	15,000 원/M ³	9,844	9,844	9,844	TYPE I의 1.3배, 1.5배로 계산
자갈	18,000 원/M ³	8,123	8,123	8,123	
급결제	450 원/kg	9,000	9,000	9,000	
합계	-	46,967	52,967	56,967	

Tbale 5 속크리트 시공 단가표

	TYPE I 사용	TYPE III 사용	
		1.3배	1.5배
리바운드량 (%)	0%	23%	17%
재료비	46,967	57,770	61,972
인건비	31,193	38,430	36,992
장비비	24,906	30,685	29,536
벼력처리비	0	3,248	2,603
합계	103,066	130,133	131,103
			135,783

Table 5는 TYPE I 시멘트와 TYPE III 시멘트를 사용했을 때, Table 3의 측정된 리바운드량을 감안하여 속크리트 시공시 공사비를 산출한 것이다.

TYPE III 시멘트를 사용하면 재료비 가격이 상승하지만 리바운드율이 감소되어 벼력 처리 비용이 감소되고 작업 효율이 향상 되기 때문에 労務비용과 裝備비용이 절감된다. 따라서

Table 5의 결과에서 보여 주듯이 현재 생산되는 S사 TYPE III 가격이 TYPE I에 1.3배 정도 가격이면, TYPE III 시멘트를 TYPE I 시멘트 대신 사용할 때 솗크리트 시공시의 공사비는 약간 상승하나 솗크리트 품질이 향상되는 것을 감안하여 충분한 경제성을 갖는다. 그러나 1.5배 가격 수준에서는 솗크리트 작업환경, 작업 효율 및 솗크리트 품질 등을 종합적으로 판단해 볼때 경제성은 떨어지거나 점차적으로 건설 현장에서 작업 환경을 중요시하는 분위기 이므로 TYPE III 시멘트 적용을 고려해 볼 만하다고 생각되며 좀 더 검토 해 볼 만한 사항이다.

3. 4. 3 급결제 종류에 의한 현장 솗크리트 적용

Table 3의 급결제 종류에 의한 Core 강도 결과를 보면, 단순히 시멘트를 급결시키는 효과만 있는 급결제의 경우는 7일에서 28일 강도 상승율이 적기 때문에 장기강도 발현에 대한 보완 대책이 필요하다.

4. 결 론

(1) 급결제에 의한 시멘트의 급결 메카니즘은 일반적인 시멘트 급결과는 다르며 비정질 gel 형태의 수화물에 의해 급결이 일어난다.

(2) 급결성은 시멘트 반응성에 절대적으로 의존하며 솗크리트 시공시 신선한 시멘트 사용이 중요하다.

(3) W/C가 상승하면 급결성이 크게 떨어지기 때문에 솗크리트 시공시 단위수량 관리가 중요하며 W/C 상승에 따라 급결성 저하폭이 적은 급결제 선택이 중요하다.

(4) 저온에서 솗크리트 시공시 급결성이 현저히 떨어지며 급결제에 의한 급결성 회복은 급결제에 따라 차이가 많고 한계가 있기 때문에 저온에서 시공은 반응성이 높은 시멘트 사용이 바람직하다.

(5) 분말도가 높고 초기 반응성이 좋은 시멘트는 솗크리트의 부착력이 높아 리바운드량

감소와 강도 발현에 유리하다.

[參 考 文 獻]

1. 오병환外, “실리카흄 및 강섬유 보강 솗크리트의 실험적 연구”, 콘크리트학술발표집, 1992, 제4권, 2호, pp.119 – 124.
2. 안상기, “속크리트의 리바운드 감소에 대한 재료개발 연구실험”, 콘크리트 학회지, Vol. 5 No.1 1993. 3 pp54~56.
3. 中寸敏夫, “トンネルの吹付けコンクリート”, コンクリート工學, Vol.31, No.3, 1993. 3, pp.56–60
4. JCPDS 2-1003, “Sodium Calcium Aluminate $[\text{Na}_4\text{Ca}_3(\text{AlO}_2)_{10}]$ ”
5. 遠藤秀紀, “吹付けコンクリート用急結濟”, 公開特許公報(A), 平 4-55351
6. 遠藤秀紀, “セメント用凝結硬化促進材”, 公開特許公報(A), 平 2-258659
7. 能町安, “急結劑”, コンクリート工學, Vol. 26, March 1988, pp.65–70
8. Raymond J. Schutz, “Properties of Shotcrete Admixtures”, Shotcrete for Ground Support, ACI Publication SP-54, pp.45–58.
9. F.E. Valencia, “Evaluation of Shotcrete Application Under Field Conditions”, Shotcrete for Ground Support, ACI Publication SP-54, pp.115 – 148
10. John Wolsiefor, and D.R.Morgan, “Silica Fume in Shotcrete”, Concrete International, April, 1993, pp.34 – 39
11. 中原康, “吹付けコンクリートにおける材料の現状と問題点”, コンクリート工學, Vol. 19, No.19, No.4, April 1981, pp.20 – 28
12. Л. Г. ШПЫНОВА, “ТАМПОНАЖНЫЕ РАСТВОРЫ НА ОСНОВЕ БЕЗГИПСОВОГО ПОРТАНДИЕМЕНТА”
13. 田中一成, “トンネル補修用急硬性コンクリートの特性”, コンクリート工學 年次論文報告集, Vol.15, No.1, 1993, pp. 865 – 868